

II - 9 定常時系列モデルの選定および次数の決定方法

群馬高専 正会員 山本好克

1.はじめに 時系列モデルは、水工計画上必要となる降水や流量データの模擬発生あるいは将来予測をする上で有用とみる。ここでは、年単位の流量時系列を念頭に置いた、定常時系列モデルの選定とその次数の決定方法について述べる。

2. ARMA(4,8)モデルとそのパラメータ推定法 定常過程とみなせる年流量時系列データはとては、や求自己回帰型(AR(4))、一次移動平均型(MA(8))、あるいは混合型(ARMA(4,8))などのモデル化に供しうる。ARMA(4,8)モデルの一般式は、 $y_t = \mu + \theta_1 y_{t-1} + \cdots + \theta_4 y_{t-4} + \epsilon_t + \phi_1 \epsilon_{t-1} + \cdots + \phi_8 \epsilon_{t-8}$ (1) と表わされる。ここで y_t : 時系列値、 μ : y_t の平均値、 θ_i : i 番目の自己回帰係数および移動平均係数、 ϵ_t : 平均0、分散既定の正規分布をもつ白色雑音である。なお $\theta_i = -\phi_i$ である。ここで $\theta = 0$ とすれば AR(4) モデルに、 $\phi = 0$ とすれば MA(8) モデルとなる。ARMA(4,8) モデルの自己共分散は、(1)式の両辺に ϵ_{t-k} を乘じ期待値をとることにより、 $\gamma_k = \sum_{i=1}^4 \theta_i \gamma_{k+1-i} - \sum_{j=0}^{k-1} \phi_j \gamma_{k+j}$ (2), $\gamma_k = \sum_{i=1}^8 \phi_i \gamma_{k-i}$, $k \geq 8+1$ (3) となる。 $\gamma_k(k) = \text{Cov}[y_t, \epsilon_{t-k}]$ である。 $k = 0$ とすると分散 $\text{Var}[y_t] = \gamma_0 + \sum_{i=1}^4 \theta_i^2 + \sum_{j=0}^{k-1} \phi_j^2 \gamma_{k-j} (-1)$ (4) が得られる。また自己相関係数は、 $r_k = \frac{\gamma_k}{\gamma_0}$, $k \geq 8+1$ (5) であり、部分自己相関係数 $\rho_k(k)$ は、次数 k の AR 過程 $\tilde{y}_t = \phi(k) \tilde{y}_{t-1} + \cdots + \phi_8 \tilde{y}_{t-8} + \epsilon_t$ で Durbin (1960) の手法により解き、次式となる。 $\rho_1(1) = \rho_1$, $\rho_2(2) = \frac{\rho_1(1-\rho_1^2)}{1-\rho_1^2}$, $\rho_3(3) = \left\{ \rho_2 - \frac{\rho_1^2}{1-\rho_1^2} \rho_1(k-1) \rho_{k-1} \right\} / \left\{ 1 - \sum_{j=1}^{k-1} \rho_j^2 (k-1) \rho_j \right\}$ (6) である。この長は、遅れ時間 k を表す。

ARMA(4,8) モデルのパラメータ μ へ θ および ϕ を算定するには、実測時系列データより自己共分散 C_k を計算し、(6)式の係数を C_k とおきがえることにより、 μ へ θ を算定する。次に(2)式を $\tilde{y}'_t = \tilde{y}_t - \sum_{j=1}^4 \phi_j \tilde{y}_{t-j} - \sum_{j=1}^8 \theta_j \tilde{y}_{t-j}$ (7) とし、この \tilde{y}'_t を MA 過程とみなし、この過程の自己共分散 $C'_k = \sum_{j=0}^{k-1} \tilde{y}'_{t+j} \tilde{y}'_{t+k}$, $k \leq 8$ (8)、 $C'_k = 0$, $k > 8$ (9) あたかも 分散 $\text{Var}[\tilde{y}'_t] = C'_0 = \sum_{j=0}^{k-1} \tilde{y}'_{t+j}^2$ (10) より、 $\hat{\rho}_k = C'_0 / (1 + \hat{\rho}_1^2 + \cdots + \hat{\rho}_8^2)$ (11) とし、(2)式より $\phi_1 \sim \phi_8$ を算定する。またパラメータ μ は、 $\mu = \frac{1}{N} \sum_{t=1}^N y_t$ (12) にて \tilde{y}'_t は、(2)式で $\tilde{y}_t = \tilde{y}_t - \sum_{j=1}^4 \phi_j \tilde{y}_{t-j} + \sum_{j=1}^8 \theta_j \tilde{y}_{t-j}$ とし、初期値等、 $\tilde{y}_{t-1}, \tilde{y}_{t-2}, \tilde{y}_{t-3}$ がよいから、 $\tilde{y}_1, \tilde{y}_2, \tilde{y}_3$ が0とされ、 $\tilde{y}_4 = y_1, \tilde{y}_5 = y_2, \tilde{y}_6 = y_3, \tilde{y}_7 = y_4, \tilde{y}_8 = y_5$, \cdots と導入し、 $\hat{\sigma}_e^2 = \frac{1}{N} \sum_{t=1}^N (\tilde{y}_t - \bar{\tilde{y}}_t)^2$ (13) より算定する。ここで N は、 N 年間の時系列データを表す。

3. モデルの選定および次数決定方法の手順 N 年間の時系列データ y_t を用いて、モデルの選定とその次数を決定する方法の手順は、以下のとくである。なお解析上のデータとしては(2)式の $\tilde{y}_t (= y_t - \mu)$ を用いる。

手順1 其の正規性を検討する。これには、 X^2 検定、歪み検定あるいは、正規確率紙などが利用できる。非正規の場合には、正規にみるよう対数変換等とし、再度検定する。

手順2 $y_t \sim \tilde{y}_t$ を時間軸上にプロットしてみる。流速過程において地下水や表面貯留の影響が著しい場合には AR モデルが、著しくない場合には MA モデルあるいは ARMA モデルが適当であると考えられることので、図よりこれらとの有無を推察し、モデルの選定と試みる。

手順3 その自己相関係数 ρ_k を $\rho_k = \frac{1}{N} \sum_{t=1}^N (\tilde{y}_t - \bar{\tilde{y}}_t)(\tilde{y}_{t+k} - \bar{\tilde{y}}_{t+k}) / \sum_{t=1}^N (\tilde{y}_t - \bar{\tilde{y}}_t)^2$, $0 \leq k \leq N-1$ (14) より、また部分自己相関係数 $\rho_k(k)$ を(6)式の係数とおきがえることにより計算する。なお ρ_k , $\rho_k(k)$ は近似的に平均0、分散 $1/N$ の正規分布としているので、95% 確率範囲を Anderson (1941) の式 $\rho_k(95\%) = -1.96 \sqrt{N-k-1} / (N-k)$ によって計算する。これらをすべてプロットする。

手順4 倍値が指数的にかつ／あるいは波状的に急激に減少し、遅れ時間 k 以降が 95% 確率範囲内にみれば AR(4) モデルと、遅れ時間 k から ρ_k の間にいくつかのピーク値を持ちながら減少し、8 以降が確率範囲内にあ

れば MA(8) モデルを考える。係数が指数的かつ/あるいは漸状的にゆるやかに減少する場合には、ARMA(4, 8)を考える。判然としない場合は次数中、各の決定には、 $\phi(k)$ -図と $\psi(k)$ -図を合わせる。

手順5 上述の手順にて選択されたモデルの次数中、各の逆像の値を種々変化させ、各々の次数をもつモデルの展、 $\phi(k)$ および $\psi(k)$ を (6), (7) および (14) 式より算出する。

手順6 時系列データより求めた係数と種々のモデルから得られた係数を比較し、適合性が良く、かつ \bar{E}^2 の値が最小値を示すモデルを選定する。

4. 適用例 群馬県鳥川流域下流端岩鼻観測所における、16年間(1958-1973)の流量データを用い、上述の手順へ従い、モデルの選定とその次数の決定を試みる。なお欠測データは、流域内の降雨データを用いた単回帰手法にて補充した。解析では、実測流量データ y_t とその平均値で除した値を y_t' とし、さらに $z_t = y_t - \bar{y}_t$ としてこれを用いている。これらを表-1に示す。

表-1 岩鼻地点での年流量時系列データ (m^3/s) および z_t

年	* 補充流量															
	1958	1959	1960	1961	1962	1963	1964	1965	1966	1967	1968	1969	1970	1971	1972	1973
年流量	15271	17026	5532	10911	6195	5581	9353	8619	13131	11018	14936	7071	8733	10673	11481	5949
z_t	0.573	0.687	-0.452	0.021	-0.386	-0.842	-0.073	-0.146	0.301	0.092	0.480	-0.299	-0.135	0.058	0.138	0.411

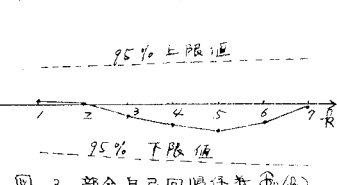
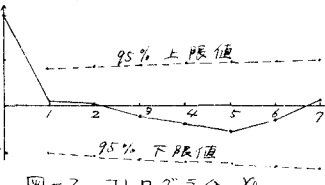
手順1 z_t の重み係数は、0.422 となる。Shedecor (1969) が 1% 確率水準 $\alpha = 0.02$ における 1- α 確率範囲は ±0.504 であるので、このデータは、正規分布とはしていいと見なせる。

手順2 流量時系列データ z_t を時間軸上にプロットし、図-7 10²⁶ に示す。図から時系列間に何らかの関連性が見出せない。特に後半では、高流量は前年の高流量に依存していない様であり、ARMA モデルが適えられるが、この段階でのモデル選定は困難である。

手順3 さての後、 $\phi(k)$ および $\psi(k)$ の計算結果を表-2 と図-2, 3 に示す。図-7 年流量時系列データ z_t

表-2 $\phi(k)$, $\psi(k)$ および \bar{E}^2 (95%)

95% 上限	1		2		3		4		5		6		7		8	
	$\phi(k)$	$\psi(k)$														
1.0537	0.030	0.030	0.404													
2.0576	0.006	0.006	0.423													
3.0597	-0.125	-0.125	0.445													
4.0625	-0.246	-0.262	0.459													
5.0654	-0.290	-0.303	0.472													



手順4 z_t のコレログラム R_k は、 $k=1$ から急激に減少し、その後、95% 確率範囲内に存在する。また R_k のすべての値は、95% 確率範囲内である。これらから AR(1) モデルあるいは ARMA(1, 1) モデルが最も \bar{E}^2 が最小である。

手順5 $P=0, 1, 2, 8=0, 1$ の組合せの

表-3 各種モデルの $\phi(k)$, $\psi(k)$ および \bar{E}^2

ARMA(0, 0)	ARMA(0, 1)	ARMA(1, 0)	ARMA(1, 1)	ARMA(2, 0)
$\phi=0, \psi=0$	$\phi=0, \psi=-0.028$	$\phi=0.028, \psi=0$	$\phi=0.215, \psi=0.035$	$\phi=0.028, \psi=0.005$
1.0505	0.220	0.223	0.028	0.028
2.0521	;	0.050	-0.001	0.001
3.0537	;	0.000	0.000	0.000
4.0554	;	;	1	1
5.0571	;	;	1	1
\bar{E}^2	0.130	0.130	0.130	0.130

ここでこのモデルを選定する。

5. おわりに ここでの適用例は、データ数等の都合から、必ずしも良い例とは言へ難いが、3. での手順は、年時系列データをモデル化する上で、参考にはなると考えてよい。なお選定されたモデル（ここでは ARMA(1, 1) モデル）が水工計画上、有意味なものであるかどうかは、さらに、推定されたパラメータの定期性や取扱い条件の満足性あるいは信頼性の検討、残差の独立性と正規性の検定がどのモデル次数を減少させるかどのような検討の必要がある。[参考文献] J. D. Salas, et al., "Applied Modeling of Hydrologic Time Series", WRP, 1980 ; J. D. Salas, et al., "Statistical Computer Programs in Hydrology", CSU, July 1980